

Elektrische Eigenschaften

Electrical properties

Höchstzulässige Werte

Maximum rated values

Periodische Vorwärts- und Rückwärts-Spitzen-Sperrspannung Vorwärts-Stoßspitzen-Sperrspannung Rückwärts-Stoßspitzen-Sperrspannung Durchlaßstrom-Grenzeffektivwert Dauergrenzstrom	repetitive peak forward off-state and reverse voltages non repetitive peak forward off-state voltage non repetitive peak reverse voltage RMS on-state current average on-state current	$t_{vj} = -40^\circ\text{C} \dots t_{vj\ max}$ $t_{vj} = -40^\circ\text{C} \dots t_{vj\ max}$ $t_{vj} = +25^\circ\text{C} \quad t_{vj\ max}$ $t_c = 65^\circ\text{C}$ $t_c = 49^\circ\text{C}$	V_{DRM}, V_{RRM} 2200, 2400 2500, 2600* $V_{DSM} = V_{DRM}$	2200, 2400 2500, 2600* V
Stoßstrom-Grenzwert	surge current	$t_{vj} = 25^\circ\text{C}, t_p = 10 \text{ ms}$ $t_{vj} = t_{vj\ max}, t_p = 10 \text{ ms}$ $t_{vj} = 25^\circ\text{C}, t_p = 10 \text{ ms}$ $t_{vj} = t_{vj\ max}, t_p = 10 \text{ ms}$	I_{TRMSM} 2000 I_{TAVM} 820 I_{TSM} 1275 18 16,5	A A A kA kA
Grenzlastintegral	I^2t -value	$t_{vj} = t_{vj\ max}, t_p = 10 \text{ ms}$ $V_D \leq 67\% \quad V_{DRM}, f = 50 \text{ Hz}$ $i_{GM} = 1,5 \text{ A}, di_G/dt = 2 \text{ A}/\mu\text{s}$	I^2t 1620 1360 $(di/dt)_{cr}$ 200 1) 2)	kA^2s kA^2s Alps
Kritische Stromsteilheit	critical rate of rise of on-state current			
Kritische Spannungssteilheit	critical rate of rise of off-state voltage	$t_{vj} = t_{vj\ max}, V_D = 67\% \quad V_{DRM}$	$(dv/dt)_{cr}$ N: 1000 50	$\text{V}/\mu\text{s}$

charakteristische Werte

Characteristic values

Durchlaßspannung Schleusenspannung Ersatzwiderstand Zündstrom Zündspannung Nicht zündender Steuerstrom Nicht zündende Steuerspannung Haltestrom Einraststrom Vorwärts- u. Rückwärts-Sperrstrom Zündverzug Freiwerdezeit	on-state voltage threshold voltage slope resistance gate trigger current gate trigger voltage gate non-trigger current gate non-trigger voltage holding current latching current forward off-state and reverse Currents gate controlled delay time circuit commutated turn-off time	$t_{vj} = t_{vj\ max}, i_T = 3600 \text{ A}$ $t_{vj} = t_{vj\ max}$ $t_{vj} = t_{vj\ max}$ $t_{vj} = 25^\circ\text{C}, V_D = 6 \text{ V}$ $t_{vj} = 25^\circ\text{C}, V_D = 6 \text{ V}$ $t_{vj} = t_{vj\ max}, V_D = 6 \text{ V}$ $t_{vj} = t_{vj\ max}, V_D = 0,5 \text{ V}_{DRM}$ $t_{vj} = 25^\circ\text{C}, V_D = 6 \text{ V}, R_A = 5 \Omega$ $t_{vj} = 25^\circ\text{C}, V_D = 6 \text{ V}, R_{GK} \geq 10 \Omega$ $i_{GM} = 1 \text{ A}, di_G/dt = 1 \text{ A}/\mu\text{s}, t_g = 20 \text{ ps}$ $t_{vj} = t_{vj\ max}, V_D = V_{DRM}, V_R = V_{RRM}$ $t_{vj} = 25^\circ\text{C}, i_{GM} = 1 \text{ A}, di_G/dt = 1 \text{ A}/\mu\text{s}$ siehe Techn. Erl./see Techn. Inf.	v_T max. $V_{T(TO)}$ r_T I_{GT} max. V_{GT} I_{GD} max. V_{GD} max. I_H max. I_L max. i_D, i_R max. t_{gd} max. t_q 1:	3,17 v 1,35 v 0,45 mΩ 300 mA 2 v 40 mA 0,3 v 400 mA 2 A 200 mA 2,3 μs 120 μs
--	--	--	---	---

Thermische Eigenschaften

Thermal properties

Innerer Wärmewiderstand für beidseitige Kühlung	thermal resistance, junction to case for two-sided cooling	$\Theta = 180^\circ \text{ el, sin}$ DC beidseitig/two-sided	R_{thJC} max. R_{thCK} max.	0,0215 °C/W 0,0200 °C/W
Übergangswärmewiderstand	thermal resistance, case to heatsink	einseitig/one-sided		0,005 °C/W 0,010 °C/W
Höchstzul. Sperrschiichttemperatur	max. junction temperature		$t_{vj\ max}$	125°C
Betriebstemperatur	Operating temperature		$t_{c\ op}$	-40 ... + 125°C
Lagertemperatur	storage temperature		t_{stg}	-40 ... + 150°C

Mechanische Eigenschaften

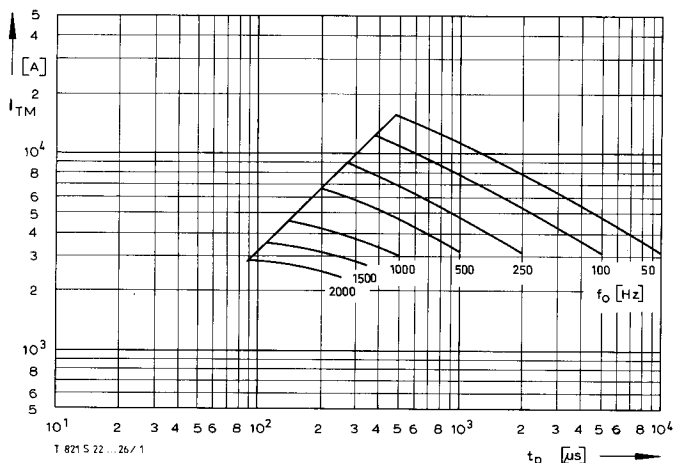
Mechanical properties

Si-Element mit Druckkontakt Anpreßkraft Gewicht Kriechstrecke Feuchteklassse Schwingfestigkeit Maßbild	Si-pellet with pressure contact Clamping force weight Creepage distance humidity classification Vibration resistance outline	DIN 40040 $f = 50 \text{ Hz}$ DIN 41814-151A4	F G typ.	13,5 ... 24 kN 550 g 25 mm C 50 m/s ²
				Seite/page 155

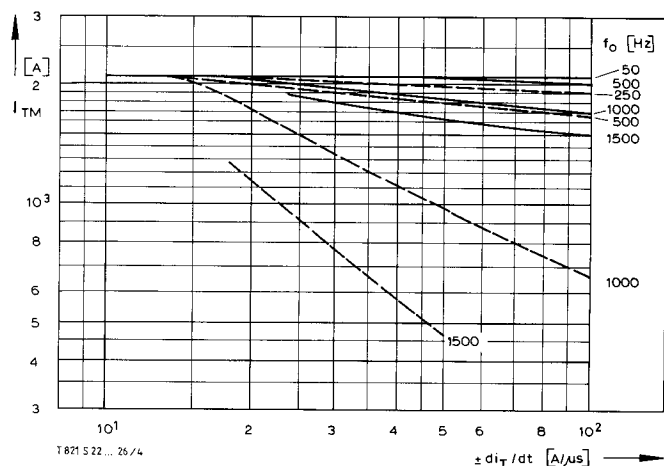
• Für größere Stückzahlen bitte Liefertermin erfragen/Delivery for larger quantities on request

1) Werte nach DIN IEC 747-6 (ohne vorausgehende Kommutierung)/Values to DIN IEC 747-6 (without prior commutation)

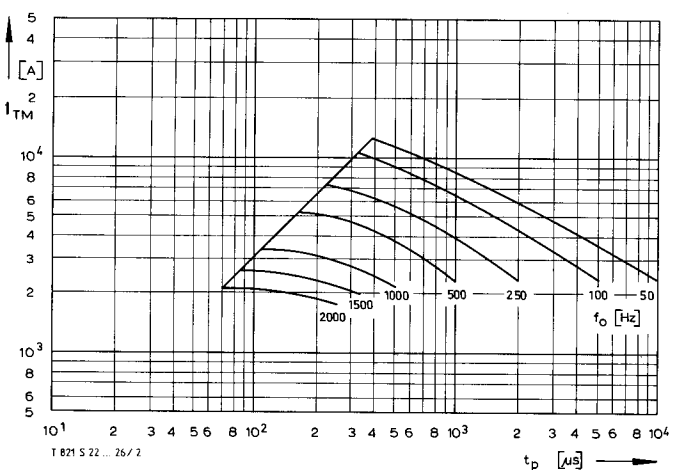
2) Unmittelbar nach der Freiwerdezeit, vgl. Meßbedingungen für t_q /Immediately after circuit commutated turn-off time, see Parameters t_q



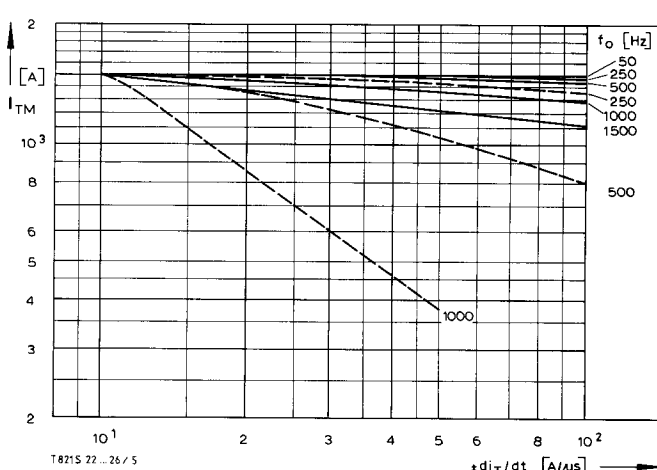
Bild/Fig. 1 $t_C = 60^\circ\text{C}$



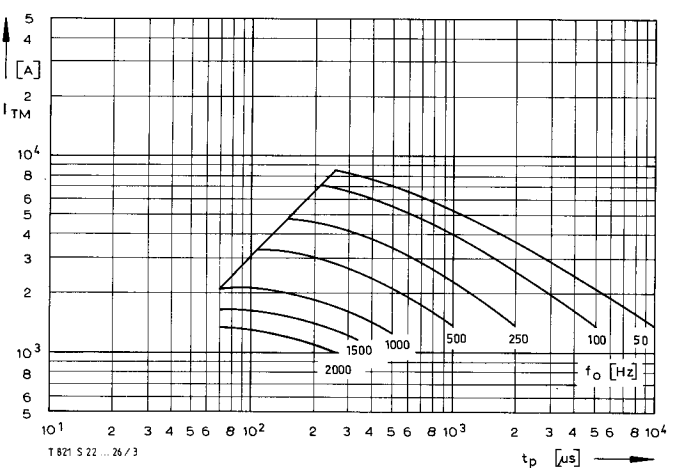
Bild/Fig. 4 $t_C = 60^\circ\text{C}$



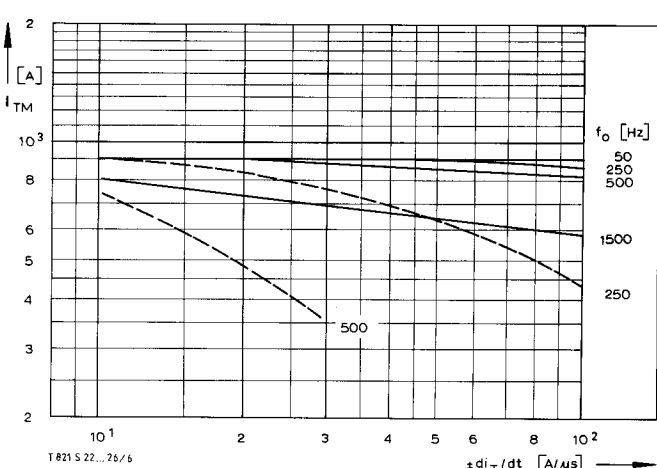
Bild/Fig. 2 $t_C = 80^\circ\text{C}$



Bild/Fig. 5 $t_C = 80^\circ\text{C}$



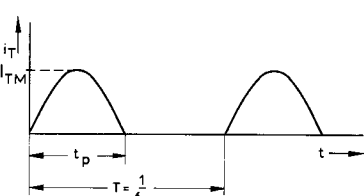
Bild/Fig. 3 $t_C = 100^\circ\text{C}$



Bild/Fig. 6 $t_C = 100^\circ\text{C}$

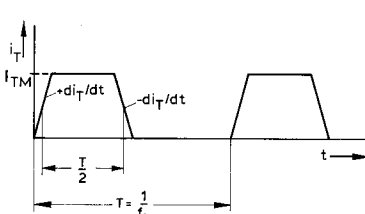
Bild/Fig. 1, 2, 3
Steuergenerator/pulse generator:
 $i_G = 1,5 \text{ A}$, $di_G/dt = 2 \text{ A}/\mu\text{s}$

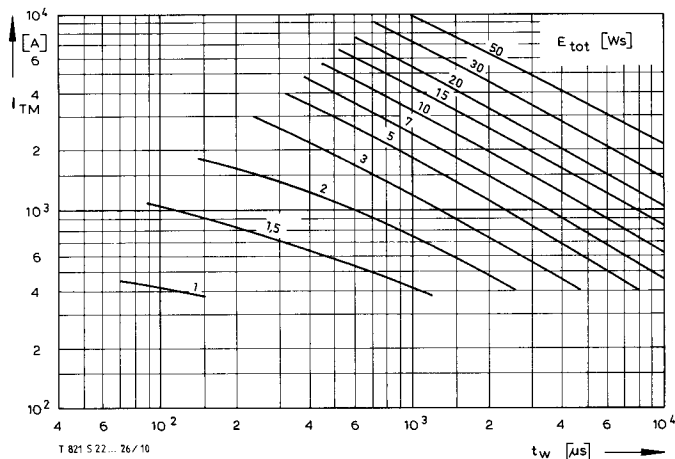
RC-Glied/RC-network:
 $R \leq 15 \Omega$
 $C \leq 1 \mu\text{F}$



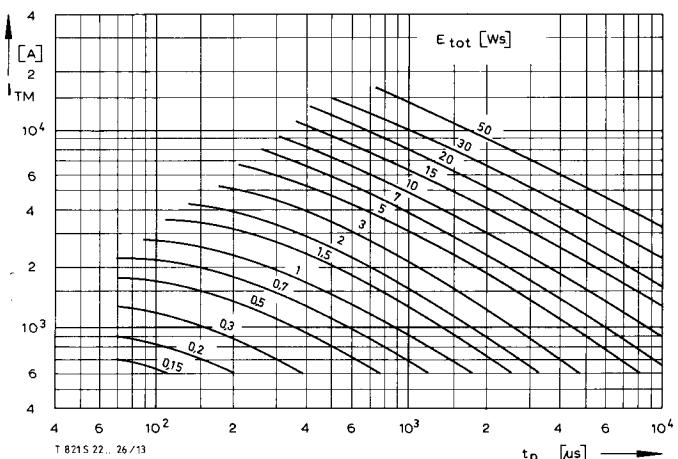
Bild/Fig. 4, 5, 6
Steuergenerator/pulse generator:
 $i_G = 1,5 \text{ A}$, $di_G/dt = 2 \text{ A}/\mu\text{s}$

RC-Glied/RC-network:
 $R \geq 15 \Omega$
 $C \leq 1 \mu\text{F}$
 $dv_R/dt \leq 800 \text{ V}/\mu\text{s}$
 $V_{RM} \leq 0,67 V_{RRM}$

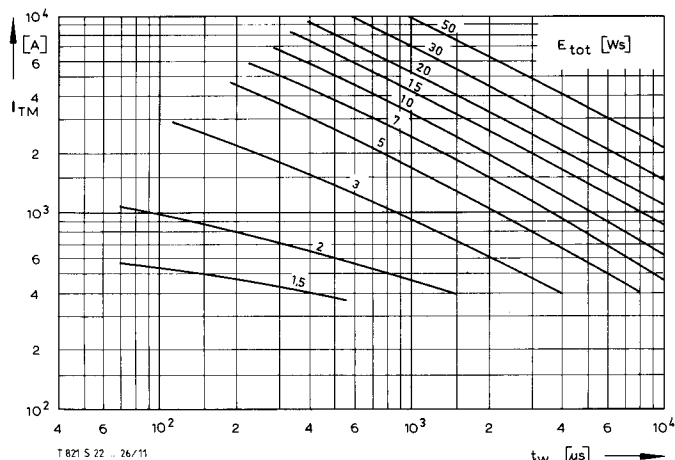




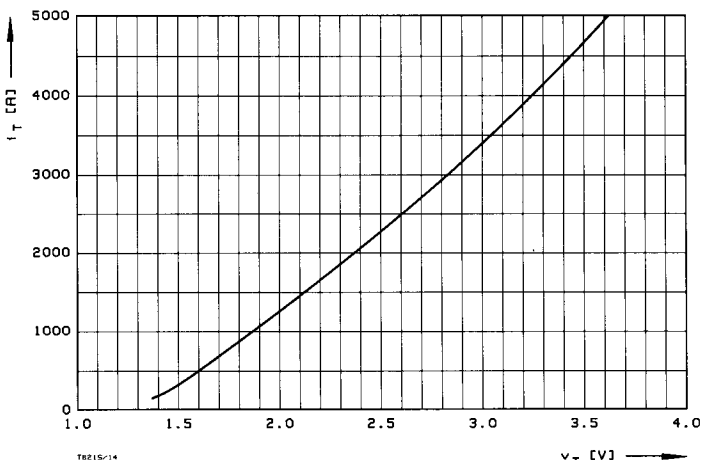
Bild/Fig. 10 $-di_T/dt = 25 \text{ A}/\mu\text{s}$



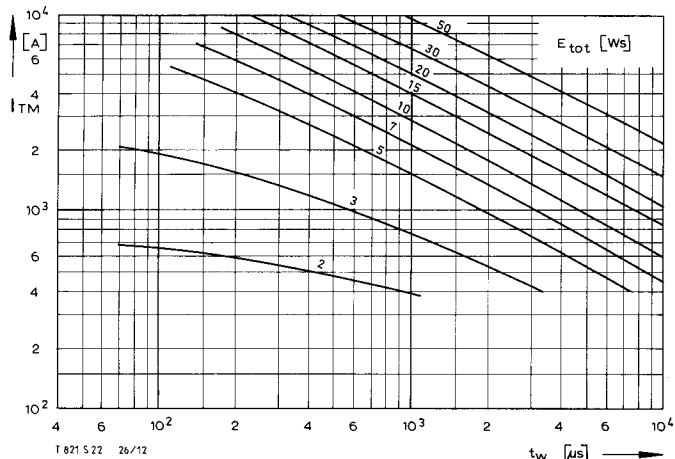
Bild/Fig. 13



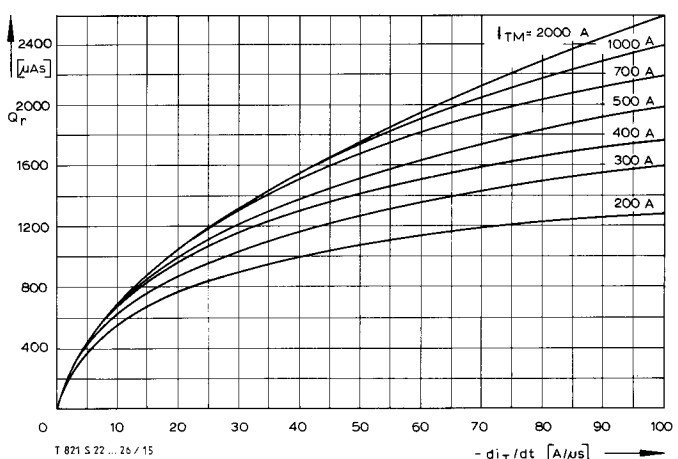
Bild/Fig. 11 $-di_T/dt = 50 \text{ A}/\mu\text{s}$



Bild/Fig. 14



Bild/Fig. 12 $-di_T/dt = 100 \text{ A}/\mu\text{s}$



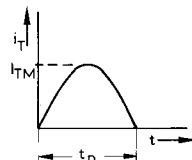
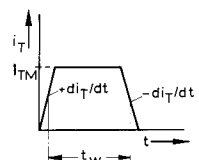
Bild/Fig. 15

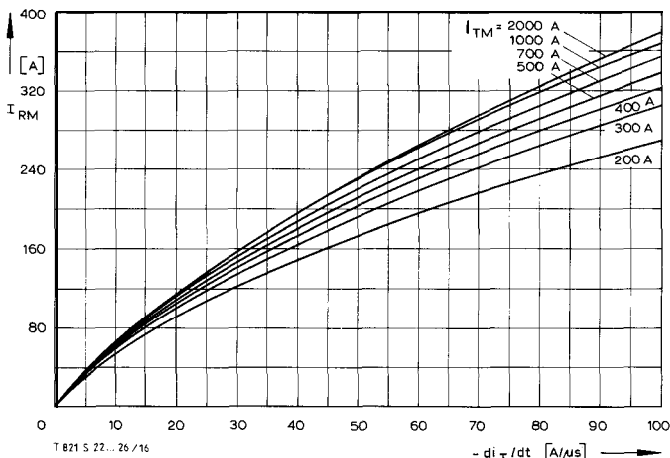
Bild/Fig. 10, 11, 12
Steuergenerator/pulse generator:
 $i_G = 1.5 \text{ A}$, $di_G/dt = 2 \text{ A}/\mu\text{s}$

RC-Glied/RC-network:
 $R \geq 15 \Omega$, $C \leq 1 \mu\text{F}$
 $V_{DM} \leq 0.67 V_{DRM}$
 $dv_R/dt \leq 800 \text{ V}/\mu\text{s}$
 $V_{RM} \leq 0.67 V_{RRM}$

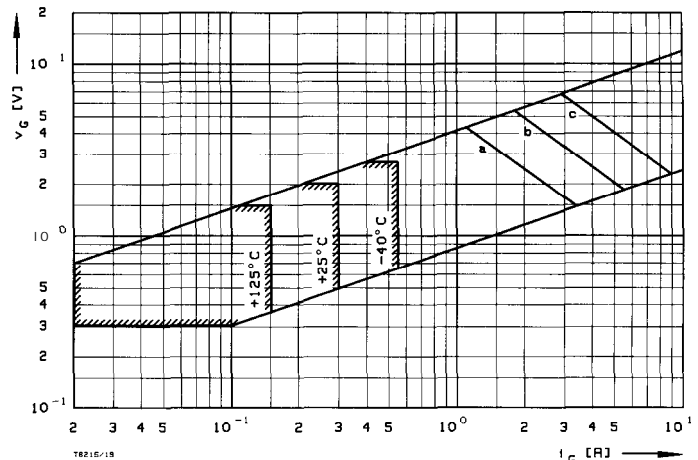
zu Bild/to Fig. 13
Steuergenerator/pulse generator:
 $i_G = 1.5 \text{ A}$, $di_G/dt = 2 \text{ A}/\mu\text{s}$
 $V_{DM} \leq 0.67 V_{DRM}$
 $V_{RM} \leq 50 \text{ V}$

RC-Glied/RC-network:
 $R \geq 15 \Omega$
 $C \leq 1 \mu\text{F}$



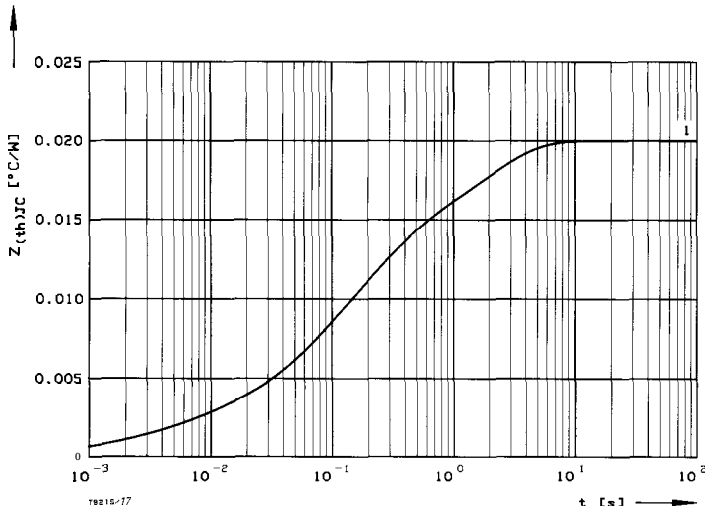


BildFig. 16
Rückstromspitze $I_{RM} = f(-di/dt)$, $t_{vj} = t_{vj(max)}$, $V_R = 0.5 V_{RRM}$, $V_{RM} = 0.8 V_{RRM}$
Peak reverse recovery current $I_{RM} = f(-di/dt)$, $t_{vj} = t_{vj(max)}$, $V_R = 0.5 V_{RRM}$, $V_{RM} = 0.8 V_{RRM}$
Parameter: Durchlaßstrom/On-state current I_{TM}



BildFig. 19
Steuercharakteristik mit Zündbereichen/Gate Characteristic with triggering areas
 $V_G = f(i_G)$, $V_D = 6 V$

Parameter:	a	b	c
Steuerimpulsdauer/Trigger pulse duration t_g [ms]	10	1	0,5
Höchstzulässige Spitzesteuerverlustleistung/ Max. rated peak gate power dissipation P_{GM} [W]	10	20	40



BildFig. 17
Transient innerer Wärmewiderstand $Z_{thJC} = f(t)$, DC
Transient thermal impedance $Z_{thJC} = f(t)$, DC
1 Beidseitige Kühlung/two-sided cooling

Analytische Elemente des transienten Wärmewiderstandes Z_{thJC} für DC
Analytical elements of transient thermal impedance Z_{thJC} for DC

Kühlung	Pos. n	1	2	3	4	5	6	7
beidseitig	$R_{thn} [^{\circ}\text{C}/\text{W}]$	0,0064	0,0072	0,0043	0,00164	0,00046		
two-sided	$\tau_n [\text{s}]$	1,9	0,225	0,058	0,0054	0,0011		
anodenseitig	$R_{thn} [^{\circ}\text{C}/\text{W}]$							
anode-sided	$\tau_n [\text{s}]$							
kathodenseitig	$R_{thn} [^{\circ}\text{C}/\text{W}]$							
cathode-sided	$\tau_n [\text{s}]$							

Analytische Funktion/analytical function:

$$Z_{thJC} = \sum_{n=1}^{n_{max}} R_{thn} (1 - \exp(-t/\tau_n))$$